

川崎製鉄技報
KAWASAKI STEEL GIHO
Vol.12 (1980) No.1

2-1/4Cr-1Mo 鋼の高温強度を及ぼす Al,Si および γ 結晶粒度の影響

Effects of Al,Si, and Austenite Grain Size on Elevated Temperature Strength of 2-1/4Cr-1Mo Steel

佐藤 信二(Shinji Sato) 小野 寛(Yutaka Ono)

要旨 :

高温圧力容器に多用される 2-1/4Cr-1Mo 鋼の、Al,Si 含有量を変えて試験溶製し、焼きならし後焼きもどしおよび S.R 处理の条件を調節して常温引強さを約 60kgf/mm² にそろえた試験材の高温引張強度およびクリープ破断強度は、常温強度の影響を補正すると、0.02%までの Al および粒度番号 3.6~8.1 間のオーステナイト結晶粒度には影響されない。Si を 0.1% 以下に低下させると、500°C 以上の高温引張強さ、および Larson-Miller パラメータが 20 ~ 20.5 × 10³ 以下の範囲でのクリープ破断強度は、それぞれ 2~6kgf/mm² 増大する。したがって、Si 含有量を減らし、Al 脱酸により γ 結晶粒を微細化することにより、良好な常・高温特性および耐焼もどし脆化特性を持った 2-1/4Cr-1Mo 鋼の製造が可能である。

Synopsis :

Short-time tensile tests and creep rupture tests have been carried out on specimens with different Al and Si contents and with different austenite grain sizes. Room-temperature tensile strength of the specimens was adjusted to be about 60kgf/mm² by the selection of normalizing, tempering and stress-relieving conditions. It has been shown that Al and austenite grain size have little effect on both elevated temperature tensile strength and creep rupture strength if the effect of variation in room temperature tensile strength is corrected. By reducing Si content from 0.4% to below 0.1%, both tensile strength at temperatures higher than 500°C and creep rupture strength in the range of Larson-Miller's parameter less than 20~20.5 × 10³ increase by 2~6kgf/mm². Therefore, 2-1/4Cr-1Mo steel, superior in both mechanical properties at room and elevated-temperatures and resistance to temper embrittlement, can be obtained by the lowering of Si content and refining austenite grain with the addition of Al.

(c)JFE Steel Corporation, 2003

2½Cr-1Mo鋼の高温強度に及ぼすAl, Si, および γ 結晶粒度の影響

Effects of Al, Si and Austenite Grain Size on Elevated Temperature Strength of 2½Cr-1Mo Steel

佐藤信二* 小野寛**
Shinji Sato Yutaka Ono

Synopsis:

Short-time tensile tests and creep rupture tests have been carried out on specimens with different Al and Si contents and with different austenite grain sizes. Room-temperature tensile strength of the specimens was adjusted to be about 60kgf/mm² by the selection of normalizing, tempering and stress-relieving conditions.

It has been shown that Al and austenite grain size have little effect on both elevated temperature tensile strength and creep rupture strength if the effect of variation in room temperature tensile strength is corrected. By reducing Si content from 0.4% to below 0.1%, both tensile strength at temperatures higher than 500°C and creep rupture strength in the range of Larson-Miller's parameter less than 20~20.5 × 10³ increase by 2~6kgf/mm².

Therefore, 2½Cr-1Mo steel, superior in both mechanical properties at room and elevated-temperatures and resistance to temper embrittlement, can be obtained by the lowering of Si content and refining austenite grain with the addition of Al.

1. 緒 言

2½Cr-1Mo鋼は高温圧力容器などに多用され、500°C前後で使用されることが多いため、常温での強度および非性だけでなく、高温引張強度およびクリープ破断強度の高いことが要求される。また最近では製造時の加熱あるいは高温での使用中の非性の低下、いわゆる焼もどし脆化の抑制が、装置の安全性、耐久性の観点から大きく取上げられている。

常温非性の向上には、焼入性を高めて初析フェライトの析出を抑えることおよびAl添加による γ -オーステナイト粒径（以下 γ G.S.と略す）の微細化が有効であることが広く知られている。

また、焼もどし脆化に関するても広範な研究が行われ、その機構の詳細については不明な点も多いが、P, Sn, Sb, Asなどの不純物元素の γ 粒界への偏析によるという点で一致しており、これらの元素の低減がはかられている¹⁾。それと同時にSi含有量の低減²⁾や γ G.S.の微細化³⁾も有効であることが見出され、当社の現時点での焼もどし脆化耐策は、転炉-LRF工程の採用による上記不純物元素の低減と、Al脱酸による γ G.S.の微細化および低Si化に基づく2次的な効果とを骨子としている。

しかし、高温強度という観点からは、これらの対策は以下のようないくつかの問題点を含んでいる。
(1) Siはフェライト鉄に対する有効な固溶強化元素であり⁴⁾、常温ならびに400°C程度までの短時間

* 技術研究所特殊鋼研究室主任研究員
〔昭和54年12月20日原稿受付〕

** 技術研究所特殊鋼研究室室長

高温引張強度を高める。クリープ破断強度に関するデータは少ないが、同様な効果が予想される。

(2) Alが炭素鋼の低温・短時間のクリープ破断強度を低下させることはよく知られており、Nの固定によるとされている⁵⁾。Cr-Mo系低合金鋼でも炭素鋼ほどではないが同様の悪影響が見出され、Alによる炭化物の凝集・粗大化の促進効果⁶⁾あるいは結晶粒微細化効果⁷⁾に基づくなどの説明がなされている。

(3) γ G.S.の効果については、十分理解されているとはい難いが、炭素鋼⁸⁾、低合金鋼⁹⁾、オーステナイト鋼¹⁰⁾などで、 γ G.S.が大きいほどクリープ強度が高いことが報告されている。しかし、とくに低合金鋼の場合は、 γ G.S.を変化させる処理により、炭化物の固溶状態、さらには試験時の組織変化も影響を受ける懸念がある。この点に関して、佐藤ら¹¹⁾はCr-Mo鋼を用い、オーステナイト化（以下 γ 化と略す）条件と焼もどし挙動の関係を調べている。それによれば、焼もどし時の炭化物析出挙動は、 γ 化時のCrの分布の均一性によって大きな影響を受け、Crの分布が均一であるほど焼もどし時の炭化物は微細になる結果、焼もどし硬さが上昇する。彼らは、 γ 化時のCrの分布の均一化が γ 相中のCrの拡散に支配されることを考慮して、次式で表わされる γ 化パラメータ（以下 P_γ ）を提唱し、 γ 化時のCrの分布の均一度および焼もどし硬さが、このパラメータによりよく整理できることを示している。

$$P_\gamma = \log t_\gamma - 19840/T_\gamma$$

ここで T_γ : γ 化温度 (K)

t_γ : 保持時間 (min)

このことは、 P_γ を一定にすることにより、 γ G.S.を変化させる処理によるクリープ破断試験時の組織変化への影響を、ある程度除くことができることを意味すると考えられる。

以上のように、常温靭性および耐焼もどし脆化特性改善対策としてのAl添加による γ G.S.の微細化および低Si化は、高温強度に対して好ましくないようであるが、必ずしも明確になっているとはいえない。

本報告では、焼ならし-焼もどした $2\frac{1}{4}$ Cr-1Mo鋼の高温引張強度およびクリープ破断強度に及ぼ

すAl、Siおよび γ G.S.の影響を、 P_γ 一定の条件下調べた結果をまとめた。

2. 実験方法

Table 1に示すAl添加量の異なる通常Si材 (No. 1および2) ならびに低Si材 (No. 3および4) 各2ヒート計4ヒートの50kg鋼塊を高周波溶解炉で真空溶解し、熱間鍛造および圧延により厚さ16mmの板とした。焼ならし条件は各供試材共通の条件として950°C×1hを選んだが、供試材No. 3については以下の予備実験結果に基づいてさらにいくつかの条件を選び、 γ G.S.および P_γ を独立に変化させた。

すなわち、供試材No. 1および3を、900°～1150°Cで10min～96h加熱後、 γ G.S.を測定した。その結果を P_γ で整理してFig. 1に示す。供試材No. 1では900°C加熱材が小粒径側にややずれるることをのぞいては両者の関係は1本の曲線ではほぼ表されるのに対し、供試材No. 3では900°C、950°C～1100°Cおよび1150°Cの3本の曲線にわかれる。すなわち、供試材No. 3については、 γ G.S.と P_γ を独立に変化させることが可能である。供試材No. 3におけるこのような結晶粒成長挙動は、加熱時のAINの析出および固溶挙動に基づくものと考えられる。なお、焼ならし処理にあたっては、冷却条件をそろえるために、所定の温度で所定の時間保持後900°Cまで冷卻し、10min保持後空冷した。

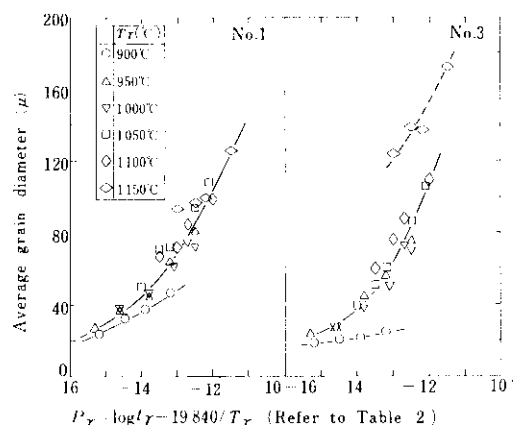


Fig. 1 Average grain diameter of prior austenite as a function of austenitizing parameter, P_γ , for materials, Nos. 1 and 3

Table 1 Chemical compositions of the materials used

No.	C	Si	Mn	P	S	Cu	Ni	Cr	Mo	Al _{tot}	N _{total}
1	0.12	0.40	0.56	0.008	0.006	0.19	0.19	2.29	1.01	<0.001	0.0068
2	0.12	0.40	0.56	0.008	0.008	0.20	0.20	2.28	1.06	0.013	0.0068
3	0.12	0.07	0.55	0.007	0.005	0.19	0.19	2.30	1.00	0.009	0.0065
4	0.11	0.07	0.56	0.008	0.010	0.20	0.20	2.26	1.05	0.019	0.0065

以上の焼ならし条件をTable 2にまとめた。950°C × 1h 焼ならし材 ($P_\gamma = -14.4$) では γ G.S. No. 7.2 ~ 8.4 が得られている。また供試材 No. 3 については、950°C × 15min から 900°C × 100h の焼ならしにより、 γ G.S. No. 8.1 ~ 8.4 で、 P_γ を -15.0 から -13.1 に変化させ (試料記号 A, B および C)、900°C × 100h から 1150°C × 15min の焼ならしにより、 $P_\gamma = -13.0$ で γ G.S. No. 8.1 から 3.6 まで変化させた (試料記号 D, E および F)。

焼もどしおよび応力除去焼なまし (以下 S.R. と略す) の条件については、高温引張強度およびクリープ破断強度は常温强度にも依存する¹²⁾ので、予備実験により、各試料について T.S. ≈ 60kgf/mm² の得られる条件として、Table 2 に併記した条件を選んだ。高 Si 材 (供試材 No. 1 および 2) は焼もどしおよび S.R. 温度 T (K)、保持時間 t (h) を用いて表される常用の焼もどしパラメータ $T.P. = T(20 + \log t) \times 10^{-3}$ として 20.2 をとることができたが、

低 Si 材は 19.6 ~ 19.8 しかとれなかった。この差は焼入れ性および固溶強化に対する Si の影響に起因すると考えられる。なお、S.R. 温度は 680°C 一定としたが、試料記号 3A については保持時間を 3h に短縮せざるを得なかった。Photo. 1 および 2 に各試料の組織を示す。いずれもほぼ均一なベイナイト組織となっている。

以上の試料から圧延方向に平行に削り出した試片を用い、常温引張試験、衝撃試験およびクリープ破断試験を行った。また、950°C × 1h 焼ならし材については、400° ~ 600°C で短時間高温引張試験も行った。常・高温引張試験は、平行部直徑 6mm、標点間距離 30mm の突起付試片を用い、オートグラフにより、JIS G 0567 に準じて行った。衝撃試験は 2mm V ノッチフルサイズシャルピー試片を用いて行い、破面遷移温度 (以下 vT_S と略す) を求めた。また、クリープ破断試験は、平行部直徑 6mm、標点間距離 30mm の試片を用い、JIS Z

Table 2 Heat treatment of the specimens

Material No.	Specimen No.	Normalizing *	P_γ^{***}	γ G.S. No.	Tempering *	S.R. **	T.P.
1		950°C × 1h	-14.4	7.3			
2	A	900°C × 100h	-13.1	8.1	730°C × 1h	680°C × 5h	20.2
3	B	950°C × 15min	-15.0	8.4		680°C × 3h	19.6
	C	950°C × 1h	-14.4	8.2	680°C × 1h		
	D	1000°C × 5h	13.1	6.4		680°C × 5h	19.8
	E	1150°C × 15min	-12.9	3.6			
4		950°C × 1h	-14.4	8.4			

* Cooled in the air

** Cooling rate : 48°C/h

*** $P_\gamma = \log t_\gamma / 19840 / T_\gamma$

T_γ : Normalizing temperature (K)

t_γ : Holding time (min)

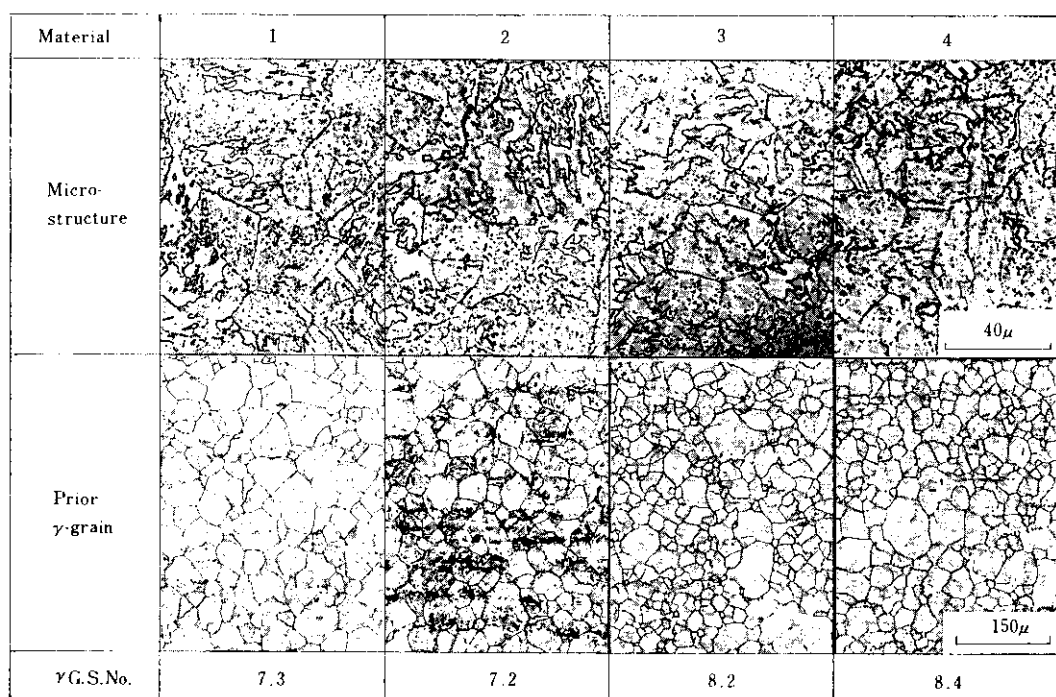


Photo. 1 Photomicrostructure of the specimens normalized at 950°C for 1h and then tempered and stress relieved

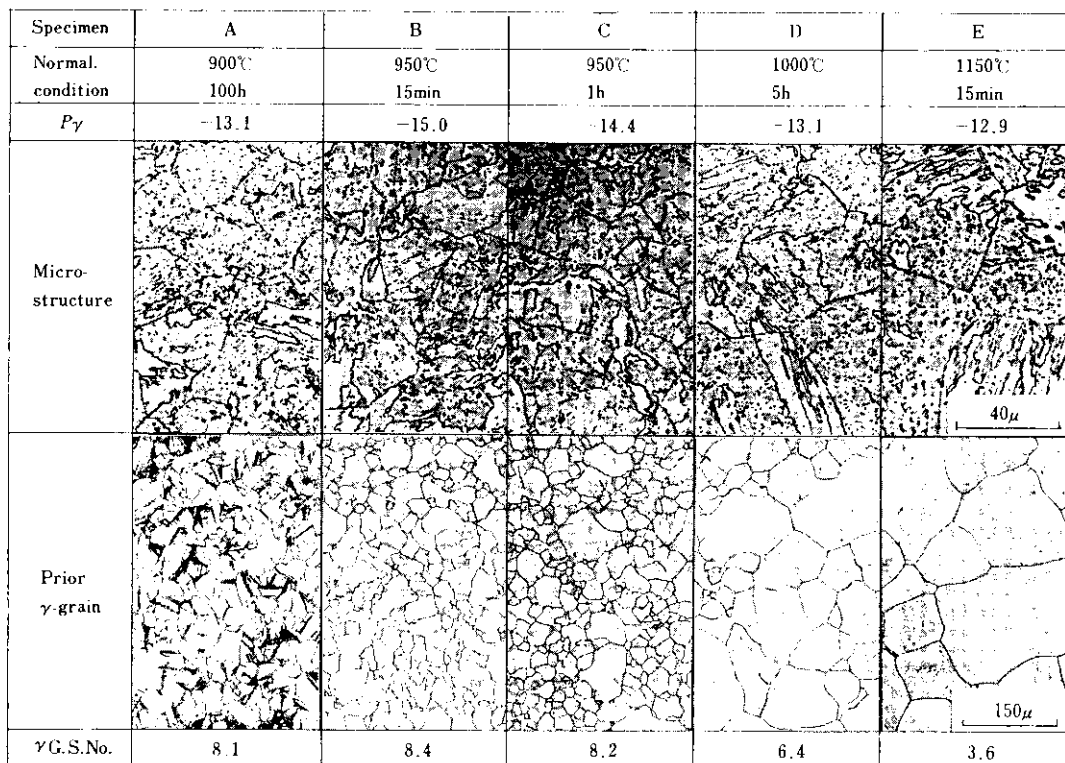


Photo. 2 Photomicrographs showing the difference in microstructure and prior austenite grain size between the specimens of material No.3 with different normalizing conditions

2272に従って500°～650°Cで行った。さらにクリープ破断試片の一部については、試験後光学顕微鏡および電子顕微鏡（抽出レプリカ法）による組織観察を行った。

3. 実験結果

3.1 常温引張および衝撃特性

Table 3に常温引張および衝撃特性をまとめた。前述のように、いずれもT.S.=60kgf/mm²を目標としたが、実際には58.0kgf/mm²（供試材No.4）～61.6kgf/mm²（供試材No.2）3.6kgf/mm²の範囲にはばらついた。 νT_S は強度に関係なく、低Si材は高Si材に較べて20°～30°C低い。また γ G.S.が大きくなるにつれて νT_S が高くなる傾向が明瞭に認められるのに対し、 P_γ の影響は小さい。

3.2 高温引張強度

Fig. 2に、950°C×1h焼ならし材についての高温引張試験結果を示す。常温における高Si材と低Si材のT.S.の差は、高温になると小さくなり、600°Cではわずかではあるが逆転している。一方Alに関してはそのような傾向は認められない。0.2%P.S.についても同様の傾向はあるが、T.S.ほど明瞭ではない。

なお、常温T.S.の低い供試材No.4の、400°Cおよび450°CにおけるT.S.は、ASME Code Sec. VIII, Div. 1の許容応力値の4倍として算出された目標値よりやや低いが、常温T.S.の調整により高

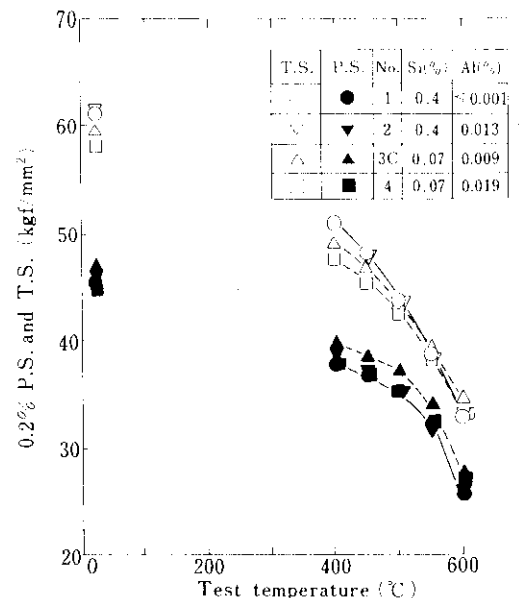


Fig.2 Temperature dependence of tensile strength and 0.2% proof stress for the specimens normalized at 950°C for 1h

めることができると考えられる。

以上の結果から、高温T.S.に及ぼすAlおよびSiの影響をさらに明確にするために、Alについては供試材No.1と2および3と4の差を、Siについては供試材No.2と3および2と4の差を、それぞれ温度に対してプロットし直して**Fig. 3**に示す。Alに関しては、高Si材も低Si材も温度によらずほぼ一定の差を示している。すなわち、600°Cまでの高温T.S.に対してAlはほとんど影響を与せず、常温T.S.の差が600°Cまでは維持されると解される。一方、Siに関しては、低Si材の供試

Table 3 Tensile properties at room temperature and impact transition temperature

Material No.	Specimen No.	0.2% P.S. (kgf/mm ²)	T.S. (kgf/mm ²)	EI. (%)	R.A. (%)	νT_S (°C)
1		45.3	61.1	24	75	-20
2		46.1	61.6	25	75	-25
	A	45.2	59.0	23	80	-53
	B	47.9	60.4	24	80	-61
3	C	47.0	59.6	21	79	-56
	D	48.2	61.3	23	80	-31
	E	48.9	61.3	23	79	25
4		44.6	58.0	22	75	-40

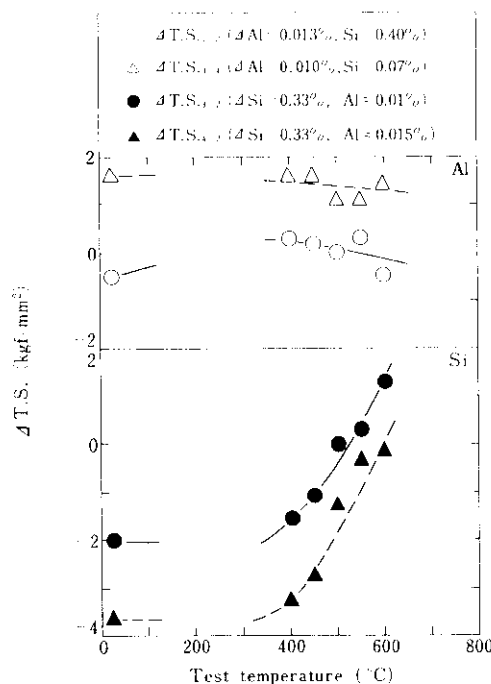


Fig.3 Effect of test temperature on the difference of tensile strengths between several specimens caused by the difference of Si or Al content

材No.3は高Si材の供試材No.2に較べて常温T.S.が約2kgf/mm²低いが、温度が上昇するにつれて両者の差は小さくなり、約500°Cでは同一強度

になり、600°Cでは逆に約1.3kgf/mm²高くなっている。同様に供試材No.4は供試材No.2に較べて常温T.S.が約3.5kgf/mm²低いが、600°Cではほぼ同一強度になっている。このように、Si含有量が減ると高温T.S.は高くなるが、その効果は高温ほど著しい。また常温T.S.の差は高温ではやや小さくなるが600°Cまで維持されることが明らかである。ASME Codeに関して問題となるのは400°～450°CでのT.S.であるが、以上の結果から、この温度範囲での低Si化の効果は比較的小さく、むしろ常温T.S.を上げることが有効である。

3・3 クリープ破断特性

3・3・1 SiおよびAl含有量の影響

Fig.4に950°C×1h焼ならし材の500°～550°Cにおけるクリープ破断曲線を示す。最長約6300hまでのデータではあるが、500°、550°Cおよび600°Cの短時間側で低Si材（供試材No.3および4）の破断強度が高いことが明瞭である。しかし、600°Cで5000h以上になると供試材間の破断強度の差はほとんどなくなる。Fig.5は、試験温度T(K)、破断時間t_r(h)を用い、Fig.4のデータおよび破断絞りをLarson-MillerのパラメータP_{LM}=T(20+log t_r)によって整理したものである。（以下これをマスターラブチャーチ曲線と記す）。P_{LM}=20.7×

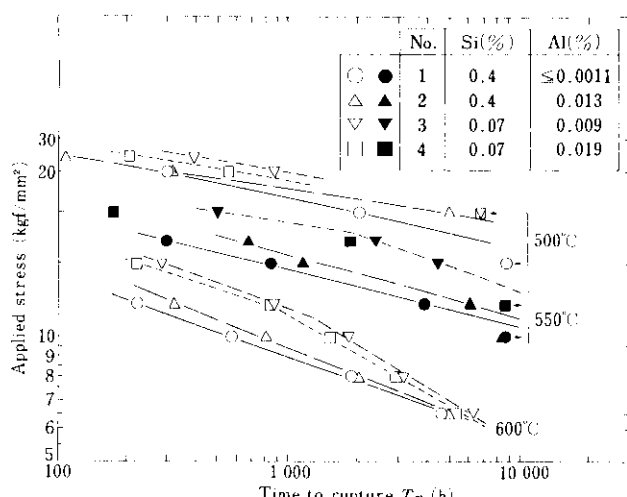


Fig.4 Creep rupture curves for the specimens normalized at 950°C for 1h

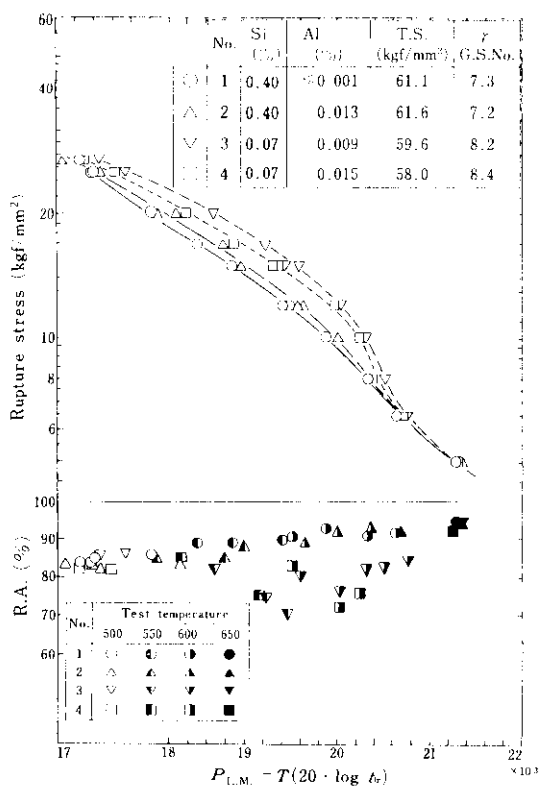


Fig.5 Rupture stress and reduction of area as a function of Larson Miller's parameter for the specimens normalized at 950°C for 1h ($P_r = -14.4$)

10^3 (550°C および 600°C でそれぞれ 150 000h および 5000h に相当する) 以下では、低 Si 材のほうが破断強度の高いことが明瞭である。一方破断絞りは、 $P_{LM} \approx 18.5 \sim 21 \times 10^3$ の範囲で低 Si 材のほうがやや低い値を示しているが、70% 以上あるので問題ない。

クリープ破断強度に及ぼす Al および Si の影響を明確にするために、高温 T.S. の場合と同様、Al については供試材 No. 1 と 2 および 3 と 4 の差を、Si については供試材 No. 2 と 3 および 2 と 4 の差を、 P_{LM} に対してプロットし直して Fig. 6 に示す。また図中には常温 T.S. の差も示した。

Al に関しては、低 Si 材も高 Si 材も、 $P_{LM} \approx 20 \times 10^3$ まではクリープ破断強度が常温强度とほぼ同じ差を示しており、高温 T.S. と同様クリープ破断強度も Al の影響を受けず、むしろ常温强度の影響を受けているものと解される。この結果は、一見従来の結果⁸⁾と反するようであるが、行俊ら⁹⁾が述

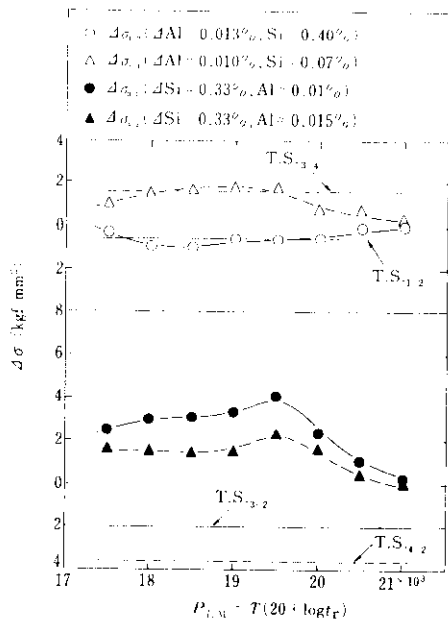


Fig.6 Relation of Larson-Miller's parameter, P_{LM} , and the difference, $\Delta\sigma$, of creep rupture strength between several specimens, in consideration of the difference of Si or Al content

べているように、従来の結果が Al そのものの影響というより、Al の添加による結晶粒径の効果を調べていると解されることを考慮すれば、従来の結果と矛盾しない。一方 Si に関しては、 $P_{LM} \approx 17.5 \sim 20 \times 10^3$ の範囲で、供試材 No. 2 (高 Si 材) に較べて供試材 No. 3 および 4 は、それぞれ 2.5 ~ 4 kgf/mm² および 1.5 ~ 2.2 kgf/mm² 高い破断強度を示している。常温 T.S. がそれぞれ 2 kgf/mm² および 3.6 kgf/mm² 低いことを考慮すると、Si 低減の効果はどちらの場合も約 4.5 ~ 6 kgf/mm² となり、見かけ以上に大幅である。

以上のように、常温では低 Si 材は高 Si 材より強度が低いが、温度が上がるにつれてその差が小さくなり、500°C ~ 600°C では高 Si 材より高くなる。クリープ破断強度は、500°C 短時間でも低 Si 材のほうが高い。高温引張試験とクリープ破断試験では荷重負荷方式が異なるが、高温引張試験における試験時間はクリープ破断試験における破断時間に対応するものとみなして P_{LM} を計算し、マスターラブチャート曲線上にプロットすると、Fig. 7 のようになる。同一試料についてのデータは、1 本の曲線で表すことができる。すなわち、高温引張

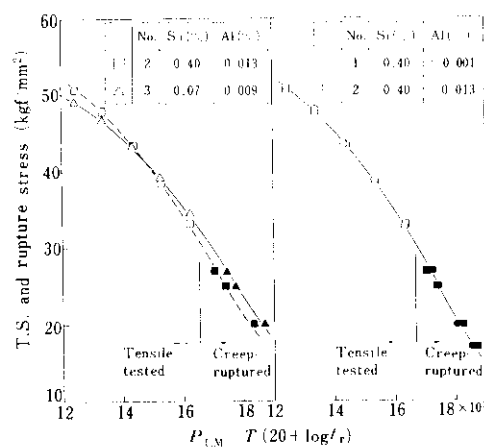


Fig. 7 Tensile strength at elevated temperatures and creep rupture stress as a function of Larson-Miller's parameter, P_{LM} .
(The parameter for each elevated temperature test is calculated from test temperature and duration of test.)

試験結果とクリープ破断試験結果は、Larson-Millerパラメータを用いることにより、ある程度まで同等にあつかうことができる。

3・3・2 オーステイト結晶粒度の影響

γ G.S.を8.1から3.6まで変化させた供試材No.3のマスターラップチャーチ曲線をFig.8に示す。 P_γ は-13.0と一定にした。 γ G.S.が大きい試料ほどクリープ破断強度が高くなっているが、図中に記したように γ G.S. No.=8.1の試料Aは他に較べて常温T.S.が2.3kgf/mm²低い。そこで、試料AとBおよびAとCの、クリープ破断強度の差と常温T.S.の差を比較してFig.9に示す。クリープ破断強度の差は常温強度の差より0~1kgf/mm²小さく、実験誤差を考慮すれば、 γ G.S.はクリープ破断強度にほとんど影響しないといえる。この結果はこれまでの多くの結果^{8~10)}と一致しない。これに関連して注目されるのは、 γ G.S.が大きくなると $P_{LM} \approx 18.5 \sim 21 \times 10^3$ の範囲で破断延性が著しく低下することである。たとえば、 $P_{LM} \approx 19.4 \times 10^3$ (550°C, ~4 000hに相当する)のとき、 γ G.S. No.=8.1, 6.4および3.6の試料の破断絞りはそれぞれ75, 45および35%となっている。

3・3・3 オーステナイト化パラメータの影響

γ G.S. No.を8.1~8.4と一定にし、 P_γ を-13.1

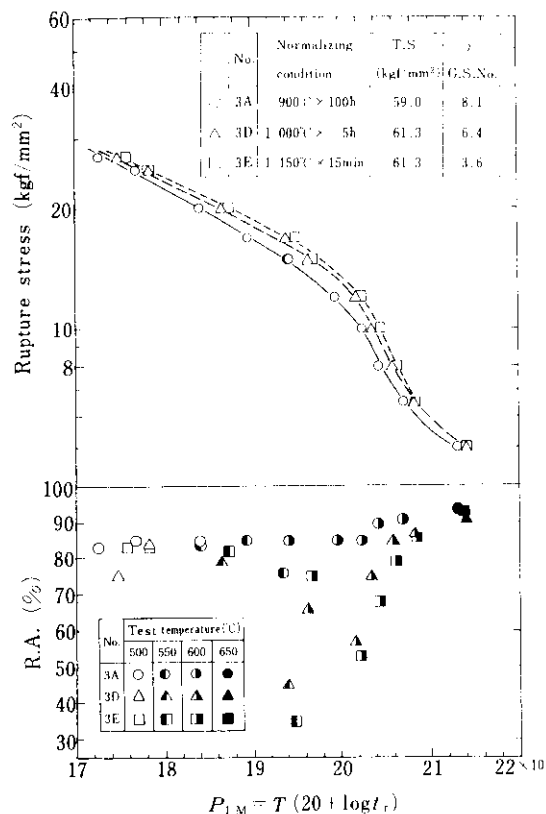


Fig. 8 Rupture stress and reduction of area as a function of Larson Miller's parameter for the specimens of material No.3 with different austenite grain sizes
($P_\gamma = -13.0$)

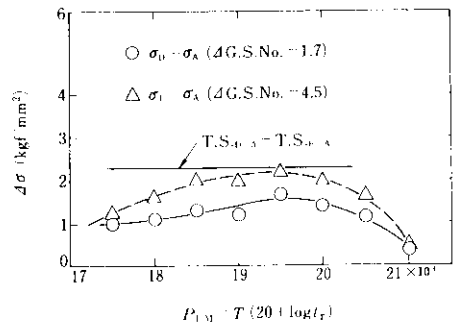


Fig. 9 Relation of Larson-Miller's parameter, P_{LM} , and the difference, $\Delta\sigma$, of creep rupture strength of different specimens of material No.3, in consideration of the difference of austenite grain sizes

から-15.0まで変化させた供試材No.3のマスターラップチャーチ曲線をFig.10に示す。 P_γ の小さい試料のほうが、やや高いクリープ破断強度を示すと

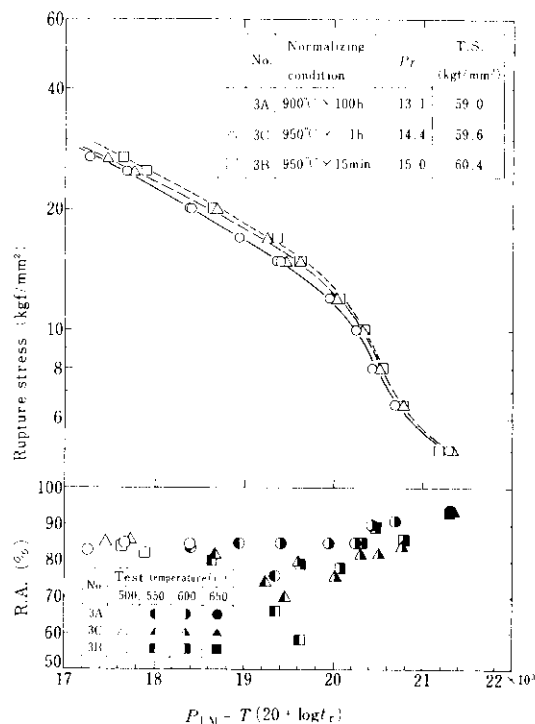


Fig.10 Rupture stress and reduction of area as a function of Larson Miller's parameter for the specimens of material No.3 with different P_T values (r.G.S.No. - 8.1~8.4)

とともに、 $P_{LM} = 18.5 \sim 21 \times 10^3$ での破断延性は低下している。しかし、これらの試料も常温T.S.に差があるので、試料AとBおよびAとCのクリープ破断強度の差および常温T.S.の差を比較してFig. 11に示す。いずれも、 $P_{LM} = 18 \sim 20 \times 10^3$ の範囲ではクリープ破断強度と常温T.S.の差が実験誤差の範囲で一致しており、各試料間のクリープ破断強度の差は P_T によるものではなく、常温T.S.の差によるものと判断される。

4. クリープ破断強度に関する考察

4・1 Si含有量の影響について

本実験において、Si含有量を0.1%以下に低減することにより、500°C以上の高温引張強度、および $P_{LM} \leq 20 \times 10^3$ の範囲でのクリープ破断強度が、数kgf/mm²上昇することが明らかになった。

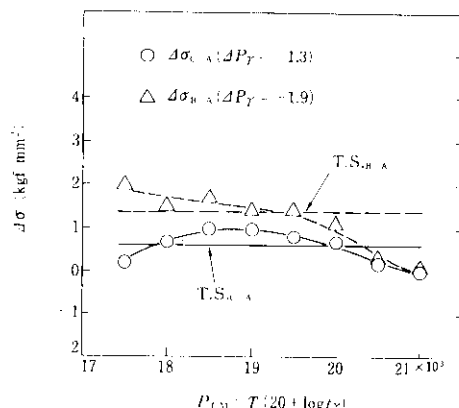


Fig.11 Relation of Larson-Miller's parameter, P_{LM} , and the difference, $\Delta\sigma$, of creep rupture strength of different specimens of material No.3, in consideration of the difference of austenitizing parameter, P_T

クリープ破断強度に及ぼすSiの影響に関する報告は少なく、0.7Cr-0.8Mo鋼についてGlen¹³⁾が、0.5Cr-0.8Mo-0.3V鋼について出川ら¹⁴⁾が、また1Cr-Mo-V鋼についてTuら¹⁵⁾が報告しているにすぎない。いずれも数温度各1応力あるいは1温度短時間の試験のみであり、明確な結論は得られていない。

Photo. 3に、供試材No. 1 (0.4Si) およびNo. 3 (0.07Si-0.009Al) の、950°C×1h焼ならし材の550°Cおよび600°Cクリープ破断後の試片の、平行部における炭化物分布を示す。炭化物は、粒内に微細に析出した針状のM₂Cと、粒内および粒界に存在する粗大な棒状あるいは粒状炭化物（多くはM₂₃C₆と同定された）から成るが、高Si材は550°C、841h ($P_{LM} = 18.9 \times 10^3$) すでにM₂Cの密度が非常に減少しているのに対し、低Si材では、550°C、4319h ($P_{LM} = 19.5 \times 10^3$) でももちろんのこと、600°C、1819h ($P_{LM} = 20.3 \times 10^3$) でもかなりの密度を保っている。写真の例はSi量だけでなくAl量も異なるが、0.02%のAlを含む2½Cr-1Mo鉄鋼の高Si材および低Si材の間でも、全く同様の違いが認められている¹⁶⁾。 $P_{LM} \leq 20 \times 10^3$ における本鋼種のクリープ破断強度はM₂Cの析出によると考えられる¹⁷⁾ので、本実験における低Si材と高Si材のクリープ破断強度の違いは、現象的にはM₂C炭化物の挙動の違いに起因するものと考えられる。

Cr-Mo鋼焼もどし中の炭化物の変化は複雑であ

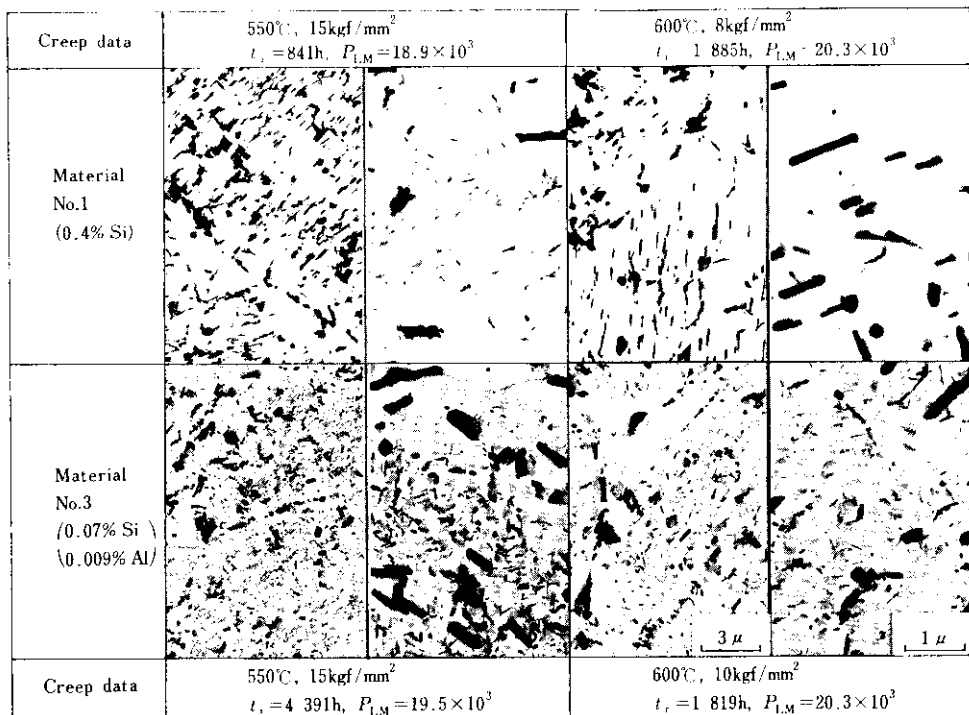
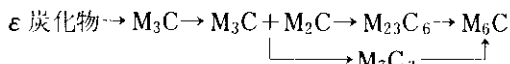


Photo. 3 Electron micrographs of carbides extracted from creep-ruptured specimens of materials Nos. 1 and 3, showing the difference in the amount of M_2C carbide(fine, needle-like) between the two materials

るが、BakerとNutting¹⁸⁾によれば、ペイナイト中では



のような変化をする。低Si材において針状 M_2C 炭化物がより高温長時間まで安定に存在することは、Siの減少により、 $M_2C \rightarrow (M_{23}C_6) \rightarrow M_6C$ の変化が遅れることを意味する。

Fig. 12に各試料の焼ならし硬さおよび焼もどしによる硬さ変化を示す。低Si材の焼ならし硬さは、高Si材のそれより H_V で 25~30 低く、焼もどしによりその差が減少するものの、T.P. = 21.3までこの傾向は変わらない。Siの多少による焼ならし硬さの違いは、一つにはSiによる固溶強化(0.33%のSi量の差による固溶強化の程度は $H_V \sim 15$ と推定される⁴⁾)、他は焼入性の低下に基づくものと考えられる。焼入性に対するSiの寄与に関して、出口らは、Siを減少させるとC.C.T.曲線のペイナイト域が短時間側にずれることを報告¹⁴⁾している。

Cr-Mo鋼やCr-Mo-V鋼において、多量のフェライト相を析出させない範囲で、オーステナイト

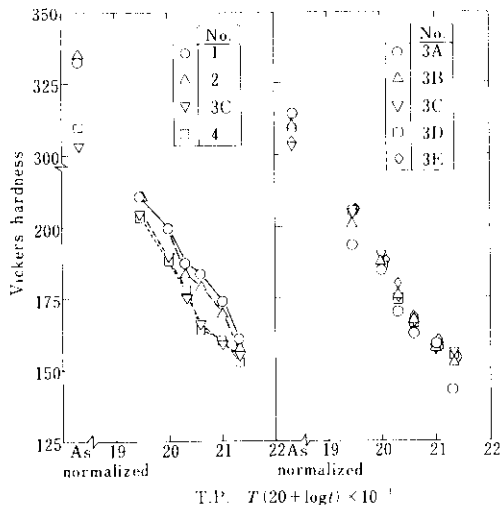


Fig.12 Effect of tempering parameter, T.P., on hardness of normalized specimens

化温度からの冷却速度が遅い場合に得られる組織のほうが、 M_2C や M_4C_3 などの微細炭化物が安定で、クリープ破断強度も高いことが知られている^{17,19)}。以上のように、本実験で認められた低Si

材でのM₂C炭化物の安定化の一因は、焼ならし組織の変化に求められるが、十分な理解のためには、Cr, Moの拡散速度への影響を通じた炭化物の変態速度そのものへの効果など、幅広い検討が必要であろう。

4・2 オーステナイト結晶粒度の影響について

低合金鋼のクリープ破断強度に及ぼすγG.S.そのものの影響を調べた報告は少ないが、Alの影響を調べた報告^{6,7)}の多くは、Alの影響そのものというより、Al含有量によるγG.S.の変化、およびそれにともなう炭化物析出形態の変化を調べたものと考えられる。たとえば行俊ら⁷⁾は、焼鈍した0.5Mo鋼ないし2 1/4Cr-1Mo鋼について、クリープ破断強度に及ぼすAlおよびNの影響を調べ、1%以上Crを含むCr-Mo鋼では、焼鈍状態ですでにNがAIN, CrNとして100%固定されていること、およびクリープ破断強度はむしろαG.S.（したがってγG.S.）と正の相関を示すことを報告している。これに反し、本実験によれば、P_γを一定としたうえで、常温T.S.の効果を補正すると、クリープ破断強度はγG.S.にほとんど依存しないが、破断延性はγG.S.が大きくなると劣化するという

結果が得られた。Photo. 4に示すように、γG.S.の増大にともなう破断延性の低下は、結晶粒の著しい変形の結果生ずる粒界ポイドの発生とその合体から、ほとんど結晶粒の変形をともなわない粒界クラックの発生および進展への、破断様式の変化によるものである。

クリープ破断強度は、一様な変形だけでなく、複雑な破壊過程も含むパラメータである。最近JonesとPilkington²⁰⁾は、フェライトとベイナイトの混合組織を持つ0.5Cr-0.5Mo-0.25V鋼について、クリープクラックの進展に及ぼすフェライト量およびγG.S.の影響を調べ、フェライト量が少なく、またγG.S.の大きい方がクラック進展速度の大きいことを見出している。

以上の点を考慮すると、本実験の対象とした試料はほぼ均一なベイナイト組織から成るため、とくにγG.S.が大きい場合にはクリープクラックの進展が速くなり、破断延性が低下する結果、たとえば行俊らのフェライト+パーライト組織の場合とは異なる結果となったものと解される。

以上のように、常温靭性および耐焼もどし脆性向上対策として、Al添加によるγG.S.の微細化および低Si化は、高温クリープ特性をも向上させ

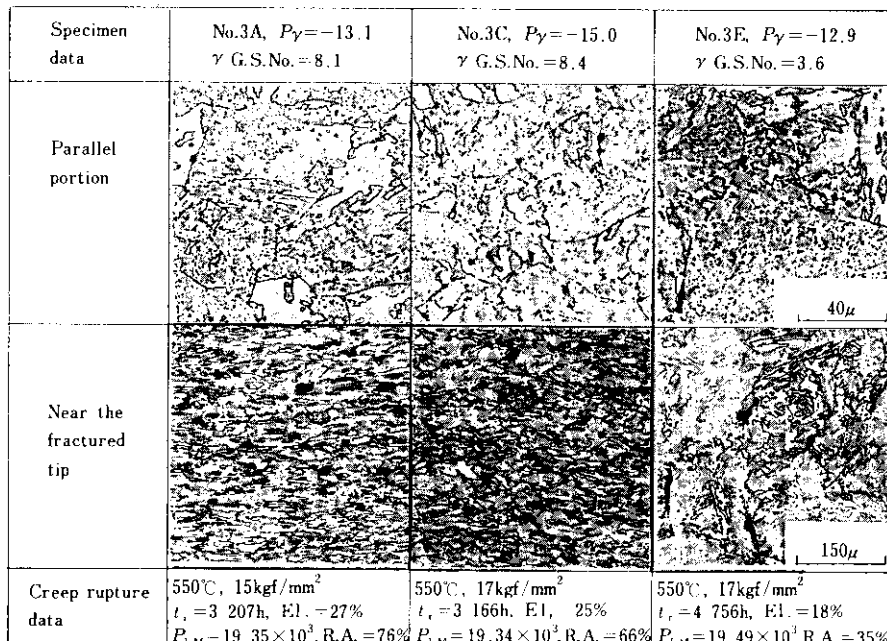


Photo. 4 Examples of microstructure of creep-ruptured specimens of material No.3, showing the smaller amount of grain deformation at fracture in the specimen with larger grain size

ることが明らかとなった。ただし、Fig. 12からもわかるように、Siの低減はSiの固溶強化作用を弱めるとともに、焼入性をやや低下させる。したがって、板厚が増してT.P.=20.5を越えるような焼もどし、S.R.処理が要求される場合には、常温ならびに400°~450°CにおけるT.S.の確保が問題となる。この対策としては、C, Cr, Mo含有量の調整あるいは、耐S.R.割れ性を損なわない範囲でのV, Nb等の添加が挙げられる。

このような考えに基いて、LD-LRF(ASEA-SKFプロセス)工程により、厚さ100mmの低Si-Al脱酸2½Cr-1Mo鋼板を製造し、確性試験を行った結果をFig. 13に示す。常温强度・韌性、耐焼もどし脆化特性だけでなく、クリープ破断強度も従来の高Si材に較べて優れていることを確認し

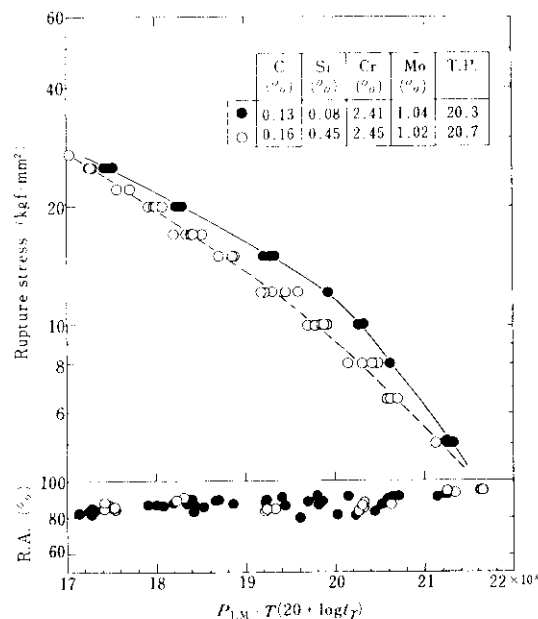


Fig. 13 Rupture stress and reduction of area as a function of Larson-Miller's parameter for commercial steel with low and high Si content

た。

5. まとめ

高温圧力容器に多用される2½Cr-1Mo鋼の高温強度に及ぼすAl, Siおよびγ結晶粒度の影響を明らかにするために、Al, Si含有量を変えた試験溶製材について、焼ならし条件を変えてオーステナイト化パラメータおよびγ結晶粒度を独立に変化させたうえで、焼もどしおよびS.R.条件を調節して常温引張強さをほぼ60kgf/mm²に調整した試料を作成し、400°~600°Cでの高温引張試験および500°~650°Cでのクリープ破断試験を行った。結果は以下のとおりである。

- (1) 高温引張強度、および $P_{LM} \leq -20.5 \times 10^3$ でのクリープ破断強度は、常温引張強度の影響を受ける。
- (2) γ結晶粒度を一定にし、常温引張強度の影響を補正すると、0.02%までのAlは、高温引張強度およびクリープ破断強度にはほとんど影響しない。
- (3) オーステナイト化パラメータを一定にし、常温引張強度の影響を補正すると、G.S. No. 8.1~3.6の範囲でのγG.S.の変化に対し、クリープ破断強度はほとんど変化しないが、γG.S.が大きくなると破断延性が大幅に低下する。
- (4) γ結晶粒度を一定にし、常温引張強度の影響を補正すると、オーステナイト化パラメータを-13.1~-15.0の範囲で変化させても、クリープ破断強度はほとんど変化しない。
- (5) Si含有量を0.10%以下にすると、500°C以上の高温引張強度、および $P_{LM} \leq 20 \sim 20.5 \times 10^3$ でのクリープ破断強度は、2~6kgf/mm²増大する。
- (6) 以上の結果から、低Si材でAl脱酸によりγ結晶粒を微細化することにより、良好な常・高温特性および耐焼もどし脆化特性を持った2½Cr-1Mo鋼の製造が可能である。

参考文献

- 1) たとえば、ASTM STP No.407 "Temper Embrittlement in Steels", (1968), (ASTM)
- 2) 井上、山本: 日本国金属学会1977年秋期大会講演予稿集, (1977年10月), 126
- 3) たとえば、川崎製鉄技術資料 "2½Cr-1Mo鋼の焼もどし脆化", (昭和52年12月)
- 4) 邦武: "鉄鋼における変態と析出", 日本国金属学会, 1968, 99
- 5) 三好、岡田: 鉄と鋼, 53 (1967) 10, 1254

- 6) 耳野, 木下, 井原: 耐熱金属材料委員会研究報告, 11 (昭和45年) 2, 215 [日本学術振興会耐熱金属材料第123委員会]
- 7) 行俊, 西田: 住友金属, 25 (1973) 1, 35
- 8) H.C. Cross and J.G. Lowther: Proc. ASTM, 40 (1940) 1, 125
- 9) A.E. White and C.L. Clark: Trans. ASM, 22 (1934) 4, 1069
- 10) C.L. Clark and J.W. Freeman: Trans. ASM, 38 (1947) 1, 148
- 11) 佐藤, 狩野, 梶並, 船越: 鉄と鋼, 63 (1977) 10, A153
- 12) R. Viswanathan: Metals Tech., 1 (1974) 6, 284
- 13) J. Gleu: J. Iron Steel Inst., 158 (1948) 1, 37
- 14) 出口, 中島: 鉄と鋼, 46 (1960) 7, 762
- 15) L. Tu and B. Seth: Proc. 8th Intern. Forgemasters Meeting
- 16) 佐藤, 小野, 野口: 未発表データ
- 17) 行俊, 西田: 鉄と鋼, 59 (1973) 8, 1113
- 18) R.G. Baker and J. Nutting: J. Iron Steel Inst., 193 (1959) 3, 257
- 19) 熊田, 上屋: 耐熱金属材料委員会研究報告, 7 (昭和41年) 1, 1 [日本学術振興会耐熱金属材料第123委員会]
- 20) C.L. Jones and R. Pilkington: Met. Trans., 9A (1978) 6, 865